

# 資料

## 海洋環境汚染의 最小化를 위한 汚濁防止幕 設計例

李 純 範 · 朴 鍾 讀

(農漁村振興公社 始華事業團 團長 · 農漁村振興公社 始華事業團 課長)

### 1. 緒 論

三面이 바다로 둘러 쌓여 있는 韓半島는 바다를 적절히 利用하는 것이 우리의 使命이다. 따라서 우리는 防潮堤를 築造하고 바다를 埋立하여 새로운 工場·住宅建設 및 農業開發等을 為한 目的으로 西南海岸의 干瀉地를 開發中에 있다.

한편 이와 같은 工事로 因하여 發生되는 土粒子와 浮游物質等이 海洋에擴散되어 우리의 海洋環境을 汚染시키고 있으며, 現在는 물론이고 向後에도 土木工事에 重要한 問題點이 될 것으로 料된다.

이러한 우리의 生活自體를 威脅하고 있는 海洋污濁水를 物理的인 方法으로 遮斷하여 海洋資源被害을 最少化 하기 為하여, 本 始華地區外廓施設事業 防潮堤 築造工事區間(盛土締切: 始華2號 防潮堤 No. 53~No. 73+80, 延長 2,080m)에 汚濁 防止幕을 設置하여 隣近 渔場 및 渔民의 生計 保護는 물론 工事推進의 圓滑을 기하고자 이를 設計하였으며, 그 内容을 紹介하고자 한다.

### 2. 他 地域 例

他 地區 施工事例는 表-1에서 보는 바와 같이 地域의으로 大部分 南海岸清淨 水域에서 敷地擴張을 為한 埋立工事時, 汚濁水擴散 防止를 為하여, 汚濁 防止幕을 設置하였다. 따라서 隣近의 養殖場 및 海洋資源被害을 最少化하고, 渔民 生計 保護는 물론 民願을 事前에豫防하여 工事を 圓滑하게 推進할 수 있었으며, 83年以

來로 海洋 土木工事에 이를 利用함이 增加趨勢에 있다.

그리고 本 地區와 隣接하여 있는 韓國火薬埋立工事에 汚濁防止幕을 設置하여 現在 埋立工事中에 있으며, 防潮堤築造工事에 汚濁 防止幕을 設置하는 것은 本 地區가 처음 시도하는 것으로 向後 防潮堤工事에 좋은 事例가 될 것이다.

### 3. 必要性

漁業補償에 있어 農業을 目的으로 하는 埋立 또는 干拓事業施行으로 因하여 被害를 받게 되는 경우 損失 補償이 되는 渔業의 種類와 内容은 다음과 같이 區分된다.

- 免許漁業에 대한 廢業 및 制限 補償
- 許可 및 申告漁業에 대한 漁業廢止 또는 休業 補償
- 無許可, 無申告 漁業의 廢業 補償
- 漁業權의 消滅 또는 漁業廢止로 인한 施設補償

- (漁船, 魚網, 漁具類 등)
- 其他 補償(鹽田 및 失魚補償 等)

위와 같은 漁業報償은 公共用地의 取得 및 損失補償에 관한 特例法(公特法)과 水產業法에 依據 現在 補償業務를 處理하고 있으나, 免許漁業은 法律의으로 그 權利가 認定되어 水產業法에 依한 補償評價가 되므로 渔民들의 民願對象이 되지 않으나, 免許漁業以外의 것은 公特法第23條에 依據 報償處理를 함으로서 補償費가

表-1. 汚濁防止幕 施工地區 現況

공사명	시행자	년도	공사명	시행자	년도
광양제철 부지 조성공사	광양제철	'83. 9	대산 삼성 석유화학 단지 조성 공사	삼성석유화약	'88. 11
부산수영만 요트경기장 부지 조성공사	부산제철	'83. 10	부산 갑천항 공유수면 매립공사	미행산업	'88. 11
낙동강하구연 호안공사	산 개 공	'83. 10	마산항 준설토 투기장 공사	마산항만청	'88. 11
충무통영수전 부지 확장공사	통영수전	'84. 1	광양제철 연약지반 개량공사	광양제철소	'88. 12
광양제철 연관단지 조성공사	토 개 공	'84. 10	광양제철 연약지반 개량공사	광양제철소	'88. 12
부산 수영만 매립공사	부산시청	'85. 1	광양제철 준설공사	광양제철소	'88. 12
포항 제철 투기장 공사	포항제철	'86. 1	고리원자력 오타수 유입 방지 공사	한전	'89. 1
홍콩 콘테이너선 인양공사		'86. 11	충무시 하수처리장 공사 공사(1차장)	충무시	'89. 1
현대중공업 투기장 공사	현대 중공업	'87. 1	제주 성산포 개발공사	제주시	'89. 3
포항제철 제3투기장 공사	포항제철	'87. 2	온산 한라 부두 축조공사	한리자원	'89. 4
동양나이론 전면부 공유수면 매립공사	동양나이론	'87. 3	광양제철 원료 부두 축조공사	광양제철	'89. 5
공장용수 취수장 오타방지 공사	삼양사	'87. 4	포항제철 SLAG 투기장 공사	포항제철	'89. 7
인천 남동공단 조성공사	토 개 공	'87. 5	인천 한국화약 성동시험장 조성공사	한국화약	'89. 8
포항제철 제3투기장 공사	포항제철	'87. 6	온산 공업기지조성 신기단지 공사	수공	'89. 8
민락동 공유수면 매립공사	세립개발	'87. 11	부산명지독산지구 갑문공사	토 개 공	'89. 9
민락동 공유수면 매립공사	세립개발	'88. 1	온산 공업기지조성 신기단지공사	수공	'89. 10
청원 삼미 특수강 부지확장공사	삼미 특수강	'88. 2	해양경찰대수리창 시설공사	해경대	'89. 10
포항 제3투기장 공사	포항제철	'88. 3	삼천포 화력발전소 제2회사장 준설공사	한전	'89. 1
다대포해경 수리창기지 건설공사	해경대	'88. 5	광양제철 SLAG처리장 호완공사	광양제철	'89. 12
여수 호남정유부지 확장공사	호남정유	'88. 6	광양제철 SLAG처리장 호완공사	광양제철	'89. 12
용평 취수장 오타 방지	쌍용자원개발	'88. 7	광양 SLAG 투기장 공사	광양제철	'89. 12 ~90. 1
제주 탑동 매립공사	제주시	'88. 7	광양 SLAG 투기장 공사	광양제철	'90. 1
광양제철 제품부두 축조공사	포항제철	'88. 8	군산외항 호안 축조공사	토 개 공	'90. 1 ~90. 2
부산다대포 해경수리창기지 건설공사	해경대	'88. 9	서산 극동정유공사	극동정유	'90. 1
여수 호남정유 부지공사	호남정유	'88. 10	광양항 준설공사	광양제철	'90. 5
대산 삼성 석유화학 단지 조성 공사	삼성석유화약	'88. 10	광양항 준설공사	광양항건설	'90. 5

적어, 漁民들은 水產業法을 適用하여 補償額을 算定 要求하므로써 갖은 民願이 發生되어 工事 遷延을 招來하고 있는 實情이다. 따라서 工事 中에 發生되는 汚濁水가 潮流에 의해서 隣近 漁場으로 擴散되므로 海洋環境汚染을 事前에 防止내지 最少화하고 漁業者와의 紛爭을 줄이는 側面에서도 工事中에 汚濁 防止幕을 設置하는 것은 必要 條件일 것이다.

또한 漁民의 生計資源인 漁場을 保護하고 所得增大를 為하여 國家的인 次元에서 汚濁 防止幕을 設置하여, 免許漁業 以外의 許可, 申告, 無許可, 無申告 等에 對한 補償費가 적은데 따른 漁民들의 不滿을 解消시켜야 할 必要性도 있다.

또한 汚濁防止膜을 設置함으로서 工事現場區域 및 隣近區域內의 公有水面에 關한 被害影響 調査時 一部가 全額 補償이 아닌 制限 補償도 期待되며, 始華2號 防潮堤工事로 因하여 10km 以內의 外海에 漁業被害 및 民願이豫想이 되는 各漁村契別 慣行漁業 및 漁船現況과豫想되는 補償額은 總13,579百萬원으로 推測되며, 細部內譯은 表-2, 3 그림. 1과 같다.



그림. 1. 漁業現況圖

#### 4. 効 果

防潮堤 工事에서 發生되는 汚濁水의 擴散 防止效果로서는 汚濁土粒子의 遮斷效果와沈降促進效果를 생각할 수 있다.

##### 가. 遮斷效果

防潮堤 工事에서 發生되는 汚濁水는 粒徑이 작기 때문에沈降速度가 대단히 느려서 水中の亂流에 따라 廣範圍하게 擴散되어 問題가 된다.

例를 들면 粒徑  $5\mu$ 의 汚濁粒子는 1時間에 10 cm밖에沈降하지 않으므로 防止幕으로 遮斷하여

表-2. 慣行漁業現況

(單位 : 百萬원)

行政區域	漁村契名	人員數	豫想補償額	主要採取業(漁種)	備考
計		1,506	1,862		
始興市	烏耳島	248	307	포폐업(동죽, 가무락, 맛)	
仁川市	古殘	185	228	〃	
	동막	320	396	포폐업(동죽, 가무락, 반지락)	
	척전	464	574	포폐업(동죽, 가무락, 맛)	
	송도	289	357	〃	

表-3. 漁船現況

(單位 : 百萬원)

行政區域	漁村契名	隻數	豫想補償額	主要採取業(漁種)	備考
始興市	蘇來	224	11,717	漁船業(꽃게, 새우, 잡어)	
	5Ton 以上	81	5,038	〃	
	5Ton 以下	143	6,679	〃	

汚濁水의擴散을抑制할必要가 있으며, 흐름의狀態에 따라 2가지로區分할 수 있다.

### 1) 흐름이 없는境遇遮斷效果

潮流等 特히 흐름이 없는境遇의擴散을 생각하면 海洋에서擴散現象은 亂流擴散에依해支配되고 水平方向이 鉛直方向에比하여 優勢하고 亂流擴散定數도 2倍 크기 때문에擴散速度도 倍差異가 있다.

그림. 2에서 汚濁水가 임의點에서發生되면防止幕을設置하지 않은境遇水平方向으로急速히擴散되고,防止幕을設置할境遇처음에는천천히鉛直方向으로鉛直擴散定數만큼擴散되고(①), 그후에는防止幕外側으로빨리水平擴散定數만큼擴散된다(②). 最終적으로防止幕外側으로擴散하는데長時間所要되고汚濁水는充分히稀釋되어濃度減少가豫想된다.

反面防潮堤內側에는濃度가높고, 汚濁粒子凝聚比率이높아진다. 따라서內側에서遲體時間도길어沈降促進은물론外側으로擴散을抑制시킨다.

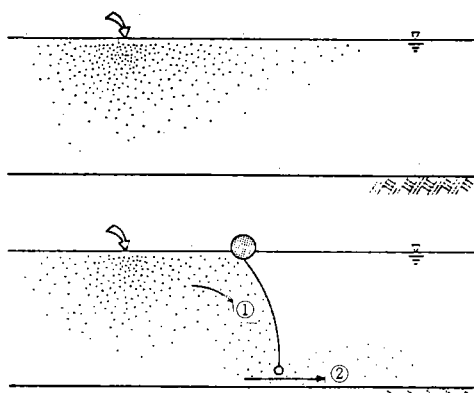


그림. 2. 흐름이 없는境遇汚濁水의擴散

### 2) 흐름이 있는境遇遮斷效果

潮流等의 흐름이 있는境遇汚濁水는流速에依하여下流方向으로빠르게 먼거리까지稀釋되지 않고擴散되어問題가되고있다(A點).

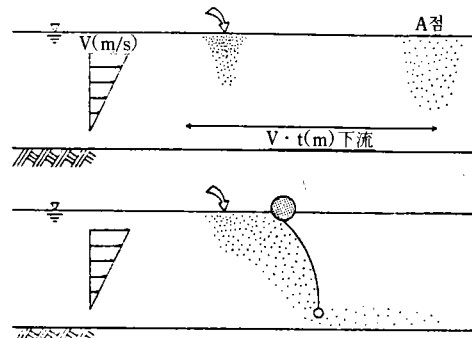


그림. 3. 흐름이 있는境遇汚濁水의擴散

一般的으로流速은水面에서크기때문에特히水面에서問題가된다.

防止幕을設置하지않을境遇水面附近에서汚濁水發生t秒後 $v \times t(m)$ 下流의A點에서最大濃度가된다.  $V$ 가크고 $t$ 가작아도먼거리까지擴散되고充分한稀釋이되지만最終적으로短時間에高濃度의汚濁領域이멀리形成되어끝나게된다. 여기서流速이큰水面附近에防止幕을設置하면汚濁水의流速과鉛直方向의擴散速度가작아, 먼거리까지擴散하는데장시간必要하므로結果적으로汚濁水는充分히稀釋되고低濃度海洋狀態를維持시켜問題點을解消시킬수있다.

### 나.沈降促進效果

發生되는汚濁水에Silt質成分이含有되어있다고생각되면粒度曲線은그림.4와같으며,粒子의沈降速度(Stokes法則)

$$U = \frac{g(\rho' - \rho)}{18\mu} \cdot \phi^2$$

$U$ :沈降最終速度

$\rho'$ :土粒子의密度=2.67(g/cm<sup>3</sup>)

$\rho$ :海水의密度=1.045(g/cm<sup>3</sup>)

$\mu$ :海水의粘度=1.0×10<sup>2</sup>(g/cm·sec)

$g$ :980(cm/sec<sup>2</sup>)

$\phi$ :粒徑(cm)

## 海洋環境汚染의 最小化를 위한 汚濁防止幕 設計例

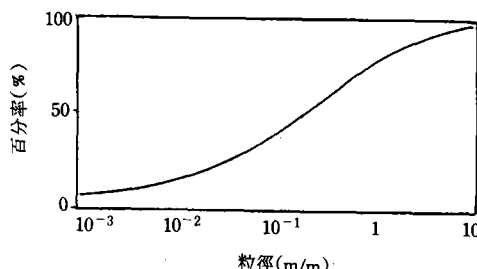


그림. 4. 粒度曲線

$\phi$ (cm) (粒 徑)	$U$ (cm/sec) (沈降速度)	$U$ (m/hr) (沈降速度)	10m當(沈降 必要時間)
0.0001(1 $\mu$ )	$8.8 \times 10^{-5}$	$3.168 \times 10^{-3}$	3,156.6hr
0.001(10 $\mu$ )	$8.8 \times 10^{-3}$	0.32	31.25hr
0.01(100 $\mu$ )	0.88	32	19 分
0.1(1000 $\mu$ )	88	3,200	11.36sec
1.0	8,847.2	$3.2 \times 10^5$	0.11sec

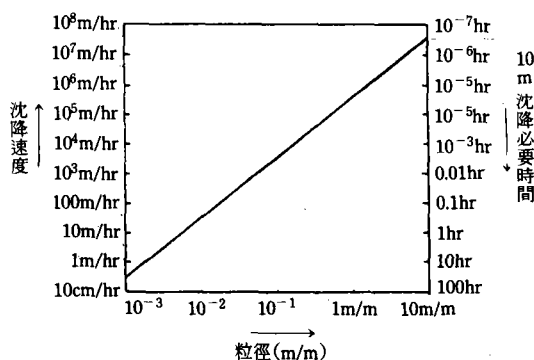


그림. 5. 粒徑과 stokes의 沈降速度

汚濁水內의 粒徑 크기에 따라 언젠가는 沈降 하겠지만 粗粒徑은 急速히 沈降하여 먼거리까지擴散되지 않지만 微粒徑은 長時間 經過後 沈降한다.

따라서 완전히 沈降하기 前까지는 擴散狀態에서 繼續될 것이다. 그러므로 沈降時間은 翻게하고 擴散範圍를 줄이기 위해서 汚濁防止幕을 設置하면 그림. 6에서와 같이 防止幕 外側으로擴散은  $\Delta h = (h - H)$  만큼의 沈降을 終結시켜 먼거리까지 擴散을 抑制할 수 있을 것이다.

흐름의 狀態에 따라서 再汚濁되는 境遇도 있

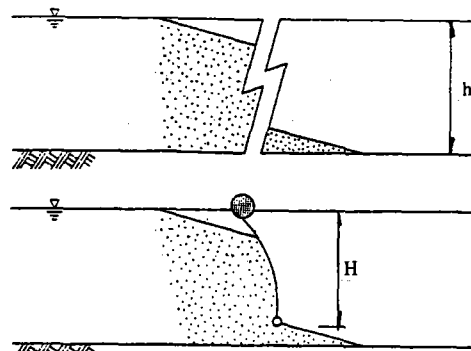


그림. 6. 汚濁水의 擴散

지만 統計的으로 보면 粒徑의 크기가 沈降速度에影響을 미친다.

또한 防止幕 内側에는 汚濁의 濃度가 커지고 汚濁粒子의 遷體時間도 길어지므로 内側에 沈降하는 比率이 커져 防止幕 外側으로 擴散量이減少하게 된다. 따라서 防潮堤 工事現場에는 다음과 같은 效果가 있을 것으로 料된다.

- 民願 事前豫防으로 工事推進의 圓滑 및 工期短縮
- 海洋自然環境 汚染防止
- 隣近 水域의 漁場 및 養殖場 保護
- 漁業權 補償費 節減 豫想

## 5. 汚濁防止幕 設計

그림. 7에서 始華2號防潮堤 延長 7,390m中 No.0~No.54까지는 捨石締切區間이며, No.

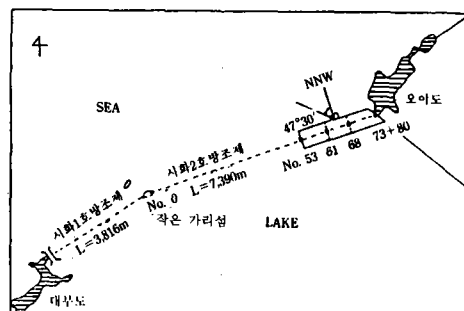


그림. 7. 平面圖

54~No. 74+90(E.P)까지는 盛土縮切區間으로 서 盛土材 築造工事에 氣象 與件에 따라 土粒子가 海洋에擴散되므로 이를 遮斷하기 위하여 現場作業 與件 等을考慮하여 No. 53~No. 73+80까지 延長 2,080m 防止幕을 設置하는 것으로 計劃하였으며, 그림. 8은 設置區間의 縱斷圖이며 地盤高에 따라 防止幕幅(B)는 平均滿潮位(M.H.W.L.)을 基準으로 하여 水深(H)와의 關係  $B = (1/1.5) H$ 에 依據 計劃하였으며, 年次的으로 工事推進을 勘案하고, 全區間에 미리 防止幕을 設置하면 Wire Rope와 防止幕 材質의 損傷을 防止하고자 3段階로 區分 施工하는 것으로 計劃하였다.

### 가. 設計條件

- 風速 : 20m/sec
- 風向 : N N W
- 潮流速 :

(單位 : m/sec)			
區間	測點	潮流速	備考
1	No 73+80~No 68	1.37	*潮流方向 (47° 30')
2	No 68~No 61	1.43	
3	No 61~No 53	1.48	

適用公式

1) 不完全越流時( $h < \frac{H}{3}$  일 때)

$$V = C\sqrt{2gh}$$

$$Q = A \cdot V = (H - h) \cdot B \cdot C\sqrt{2gh}$$

$$= 4.43 \cdot C \cdot B(H - h) \cdot \sqrt{h}$$

여기서  $V$  : 流速(m/sec)

$Q$  : 單位暴當流量( $m^3$ )

$H$  : 堤頂上에서 上流側의 水深(m)

$h$  : 内外 水位差(m)

$A$  : 通水斷面積( $m^2$ )

$B$  : 縮切區間의 幅(m)

$g$  : 重力加速度( $m/sec^2$ )

$C$  : 流速係數(0.7~0.9)

$$V_{max} = C\sqrt{2gh_{max}}$$

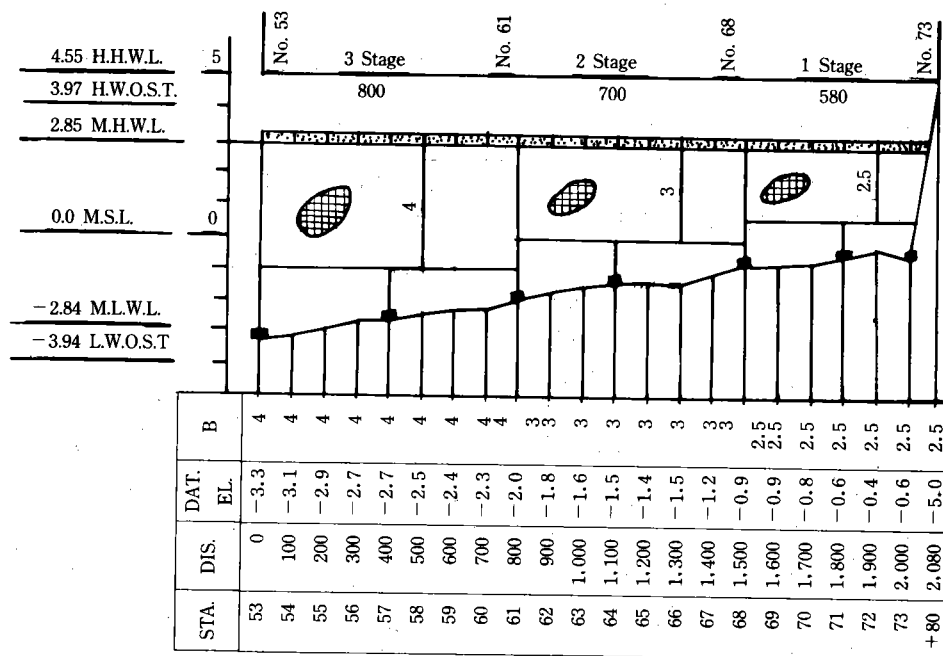


그림. 8. 縱斷圖

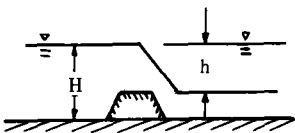


그림. 9. 사다리꼴堰의 不完全越流

2) 完全越流時( $h \geq \frac{H}{3}$  일 때)

$$V = C \sqrt{2g \frac{H}{3}}$$

$$Q = A \cdot V = \frac{2}{3} H \cdot B \cdot C \sqrt{2g \frac{H}{3}}$$

$$= 1.7 \cdot C \cdot B \cdot H^{3/2}$$

여기서 C : 流速係數(0.9)

\* 흄마(本間)의 公式에서(農業土木 Hand book 113page 完全越流時는)

$$V = m \sqrt{2gh_1} \cdot \frac{3}{2}$$

$$= 0.35 \sqrt{2 \times 9.8h_1} \cdot \frac{3}{2} = 2.32 \sqrt{h_1}$$

$m = 0.35$ 라 하였다.

$$V = C \cdot \sqrt{2g \cdot \frac{H}{3}} = C \sqrt{2 \times 9.8 \times \frac{H}{3}}$$

$$= 2.56 C \sqrt{H}$$

여기서  $h_1 = H$ 이므로

$$2.56 C = 2.32$$

$$\therefore C = 2.32 / 2.56 = 0.9$$

• 波 高 : 1.17m(Moliter 公式 使用, F= 11.0km)

적용공식(Moliter 1934)

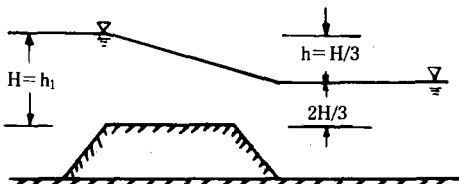


그림. 10. 사다리꼴堰의 完全越流

$$H = 0.76 + 0.061\sqrt{\mu \cdot F} - 0.27 \sqrt[4]{F}$$

(단,  $F < 72.5\text{km}$ )

여기서 H : 波 高(m)

F : 대안거리(11km)

$\mu$  : 風 速(20m/sec)

◦ 各部分의 名稱

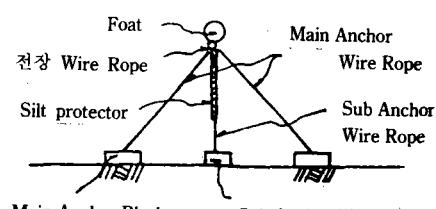
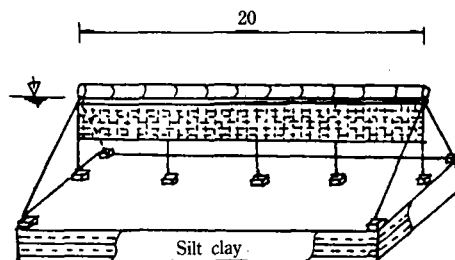


그림. 11. 汚濁防止幕 標準圖

나. 防止幕에 加해지는 外力

1) 바람에 의한 힘( $F_w$ )

바람이 依한 防止幕 上端 Float部에 加해지는 힘.

$$F_w = \frac{R_a \cdot C_d \cdot U^2}{2g} \cdot \cos^2 \theta \text{(港灣 設計 基準 P. 19)}$$

여기서  $R_a$  : 공기의 比重量( $1.29\text{kg/m}^3$ )

$C_d$  : 抵抗係數(1.0, 參考文獻 參照)

$g$  : 動力 加速度( $9.8\text{m/sec}^2$ )

$U$  : 風速( $20\text{m/sec}$ )

$\theta$  : 바람의 方向이 母體의 接線에 垂直한 方向과 이루는 角( $0^\circ$ )

$$F_w = \frac{1.29 \times 1.0 \times 20^2}{2 \times 9.8} \times (\cos 0^\circ)^2 = 26.32\text{kg/m}^2$$

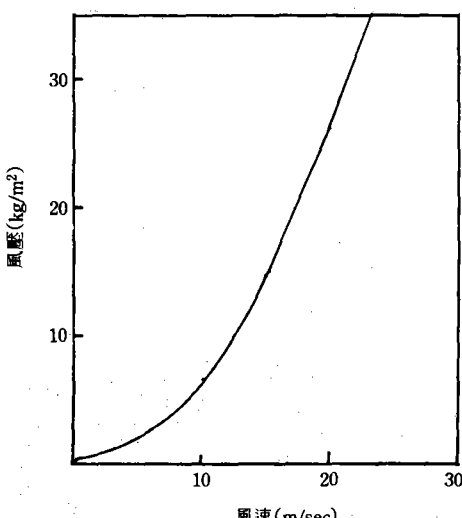


그림. 12. 風 壓

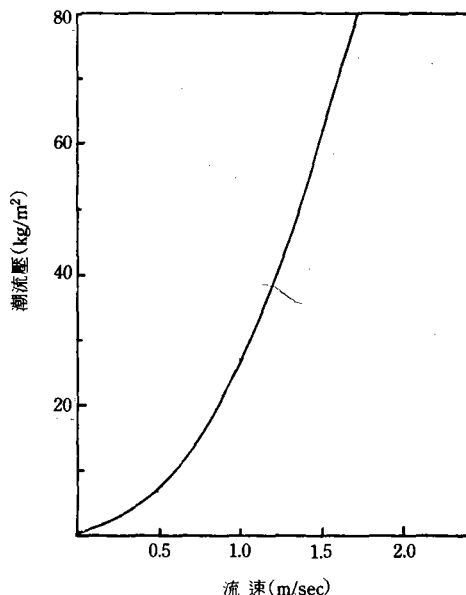


그림. 13. 潮 流 壓

## 2) 潮流에 依한 힘( $F_t$ )

潮流의 흐름에 따른 潮流速이 防止幕에 加해  
지는 힘.

$$F_t = \frac{R_s \cdot C_d' \cdot V^2}{2g} \cdot \cos^2 \theta \quad (\text{港灣 設計 基準 P.21})$$

여기서  $R_s$  : 海水의 比重(1,030kg/m³)

$C_d'$  : 抵抗係數(1.13, 參考文獻 參照)

$g$  : 動力 加速度(9.8m/sec²)

$V$  : 風潮流速(m/sec)

$\theta$  : 流速의 方向이 幕體의 接線에 垂直  
한 方向과 이루는 角( $47^\circ 30'$ )

$$F_t = \frac{1.030 \times 1.13 \times 1.379^2}{2 \times 9.8} \times (\cos 47^\circ 30')^2$$

$$= 51.54 \text{ kg/m}^2$$

## 3) 波에 依한 힘( $F_h$ )

波에 依한 防止幕에 加해지는 힘.

$$F_h = \frac{R_s \cdot C_d' \cdot V_o^2}{2g} \cdot \cos^2 \theta \quad (\text{港灣 設計 基準 P.21})$$

여기서  $R_s$  : 海水의 比重(1,030kg/m³)

$C_d'$  : 抵抗係數(1.13, 參考文獻 參照)

$g$  : 動力 加速度(9.8m/sec²)

$V_o$  : 水平方向의 물 粒子의 平均速度  
(m/sec)

$\theta$  : 波의 流入 角度( $0^\circ$ )

$$V_o = \frac{\pi H}{2T} (\cot h \frac{2\pi h}{L} + \operatorname{cosec} h \frac{2\pi h}{L})$$

(港灣設計基準 p. 33)

$$= \frac{3.14 \times 1.173}{2 \times 4.18} (\cot h \frac{2 \times 3.14 \times 6.9}{27.26})$$

$$+ (\operatorname{cosec} h \frac{2 \times 3.14 \times 6.9}{27.26})$$

$$= 0.441 \times (1.087 + 0.425)$$

$$V_o = 0.667 \text{ m/sec}$$

$$F_h = \frac{1.030 \times 1.13 \times 0.667^2}{2 \times 9.8} = 26.42 \text{ kg/m}^2$$

## 다. 防止幕에 作用하는 應力

防止幕에 加해지는 外力은 Float 部에 作用하는 風力, 防止幕에 作用하는 潮流力 및 波力으로

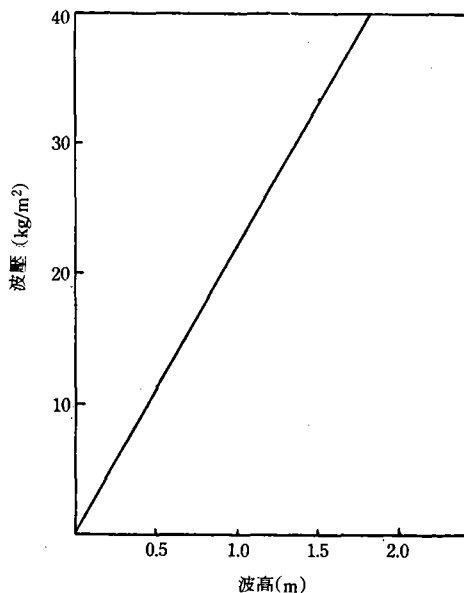


그림. 14. 波 壓

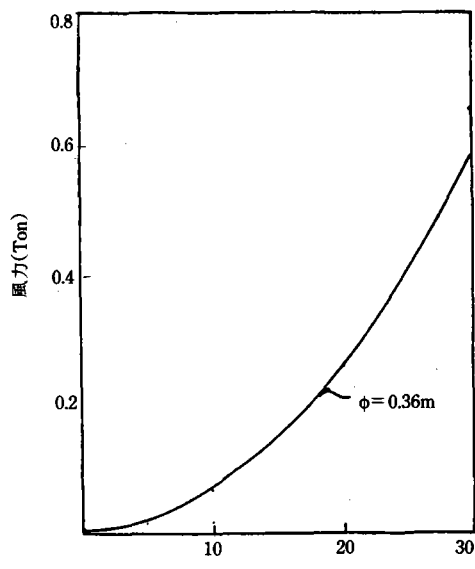


그림. 16. 風 力

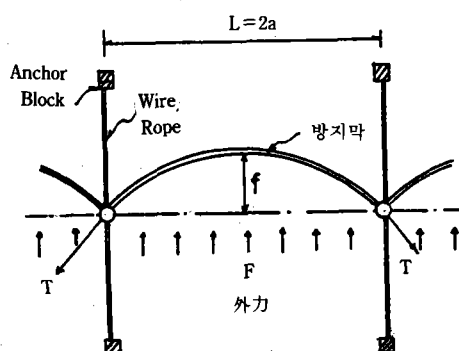


그림. 15. 汚濁防止幕 平面圖

區分할 수 있다.

그림. 15와 같이 防止幕에 外力이 作用할 때  
防止幕은 포물선 形態로 되어 防止幕이 받는  
張力(T)은 다음 式과 같다.

$$T = \frac{F \cdot a}{2f} \cdot \sqrt{a^2 + 4f^2}$$

여기서 F ; 外力(kg/m<sup>2</sup>)

a ; 防止幕 延長의  $\frac{L}{2}$  (L=20m)

f : 變形量  $0.1 \times 2a = 2.0m$

1) 바람에 依해 作用하는 張力( $T_w$ )

$$T_w = \frac{F_w \cdot a}{2f} \cdot \sqrt{a^2 + 4f^2 \cdot \phi}$$

여기서  $\phi = \text{Float의 直徑}(0.36m)$

$$T_w = \frac{26.32 \times 10}{2 \times 2} \times \sqrt{10^2 + 4 \times 2^2} \times 0.36 = 255.12kg$$

2) 潮流에 依해 作用하는 張力( $T_t$ )

$$T_t = \frac{F_t \cdot a}{2f} \cdot \sqrt{a^2 + 4f^2 \cdot B}$$

여기서 B = 防止幕의 幅(2.5, 3.0, 4.0m)

$$T_t = \frac{51.54 \times 10}{2 \times 2} \times \sqrt{10^2 + 4 \times 2^2} \times 2.5 = 3.469kg$$

3) 波에 依한 作用하는 張力( $T_h$ )

$$T_h = \frac{F_h \cdot a}{2f} \cdot \sqrt{a^2 + 4f^2 \cdot B}$$

여기서 B = 防止幕의 幅(2.5, 3.0, 4.0m)

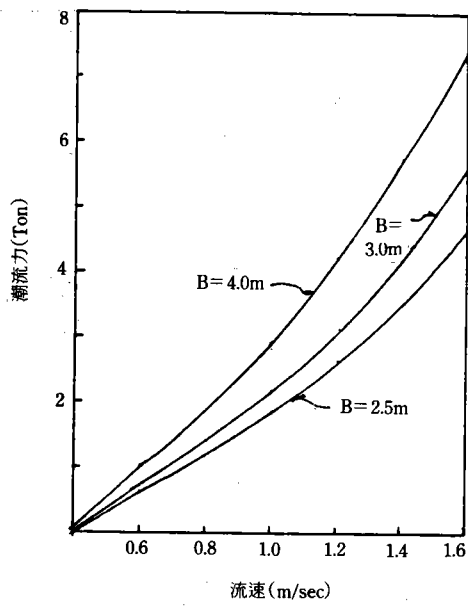


그림. 17. 潮 流 力

$$T_h = \frac{26.42 \times 10}{2 \times 2} \times \sqrt{10^2 + 4 \times 2^2} \times 2.5 = 1,778 \text{kg}$$

#### 4) 防止幕의 選定

가) 防止幕이 받는 張力( $T_1$ )

防止幕은 潮流壓과 波壓에 依한 張力を 받는다

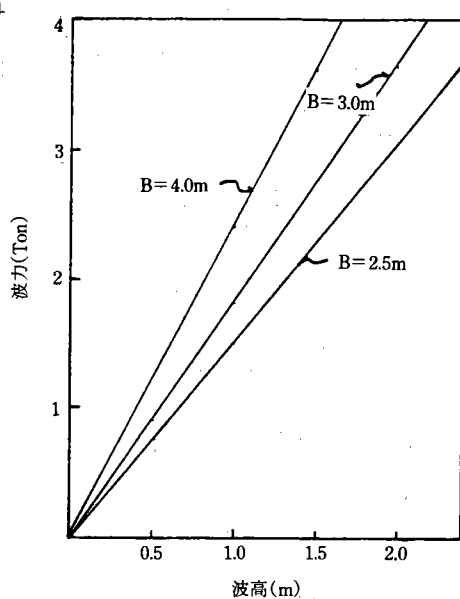


그림. 18. 波 力

$$T_1 = \frac{(F_t + F_h) \cdot a}{2f} \cdot \sqrt{a^2 + 4f^2} \cdot F_s$$

여기서  $F_t$  : 潮流壓 ( $\text{kg/m}^2$ )

$F_h$  : 波壓 ( $\text{kg/m}^2$ )

$a$  : 防止幕 延長 ( $2a = 20\text{m}$ )

$f$  : 變形量  $0.1 \times 2a = 2.0\text{m}$

$F_s$  : 安全率

安全率은 日本에서 經驗的으로 使用하는 基準을 適用하였다.

(參考文獻參照)

使 用 期 間	安 全 率
0~ 6個月	$F_s = 5$
7~12ヶ月	$F_s = 8$
12~24ヶ月	$F_s = 10 \sim 15$

$$T_1 = \frac{(51.54 + 26.42) \times 10}{2 \times 2} \times \sqrt{10^2 + 4 \times 2^2} \times 12.5 = 26,237 \text{kg/m}$$

#### - 防止幕의 張力 -

區間 幅	單位	區間	1	2	3
		2.5m	3.0m	4.0m	
潮流壓 ( $F_t$ )	$\text{kg/m}^2$	51.54	55.42	59.31	
波 壓 ( $F_h$ )	〃	26.42	26.42	26.42	
$(F_t + F_h)$	〃	77.96	81.84	85.73	
$T_1$	$\text{kg/m}$	2,099	2,203	2,308	
安 全 率		12.50	12.50	12.50	
防止幕의 張力	$\text{kg/m}$	26,237	27,537	28,850	

#### 라. Anchor Rope 張力 및 Anchor Block 重量 計算

##### 1) Anchor Rope

가) 全長 Wire Rope

$$R = T \cdot F_s$$

여기서  $R$  : 全長 Wire Rope의 張力 ( $\text{kg}$ )

$T$  : 防止幕이 받는 總 張力 ( $\text{kg}$ )

$$T = T_w + T_t + T_h$$

$F_s$  : 安全率 (3~5)

$$R = 5,502 \times 3 = 16,506 \text{kg}$$

## 海洋環境汚染의 最小化를 위한 汚濁防止幕 設計例

### - 全長 Wire Rope의 張力 -

區分	單位	區間		
		1	2	3
風 力 ( $T_w$ )	kg	255	255	255
潮流 力 ( $T_t$ )	kg	3,469	4,476	6,393
波 力	kg	1,778	2,134	2,845
長 力 (T)	kg	5,502	6,865	9,493
安 全 率		3	3	3
所 要 張 力	kg	16,506	20,595	28,479

### 나) Main Anchor Wire Rope

$$y = \frac{4f}{L^2} \cdot X \cdot (X - L)$$

$$\frac{dy}{dx} = \frac{8f}{L^2} \cdot X - \frac{4f}{L}$$

$$X=0 \text{ 일 때 } \tan \alpha = \frac{dy}{dx} = \frac{-4f}{L} = -\frac{4 \times 2}{20} = -0.4$$

$$\therefore \alpha = 22^\circ$$

$$T_m \cdot \sin \theta = 2T \cdot \sin \alpha$$

$$T_m = \frac{2T \cdot \sin \alpha}{\sin \theta} \cdot F_s$$

여기서  $T_m$  : Main Anchor Wire Rope의 張力  
(kg)

$\alpha$  : 防止幕의 倾角( $22^\circ$ )

$\theta$  : Main Anchor Wire Rope 角度( $60^\circ$ )

$F_s$  : 安全率(3~5)

$$\therefore T_m = \frac{2 \times 5,502 \times \sin 22^\circ}{\sin 60^\circ} \times 3 = 14,280 \text{ kg}$$

### - Main Anchor Wire Rope의 張力 -

區分	單位	區間		
		1	2	3
總 長 力 (T)	kg	5,502	6,865	9,493
張 力 ( $T_m$ )	kg	4,760	5,939	8,212
安 全 率		3	3	3
所 要 張 力	kg	14,280	17,817	24,638

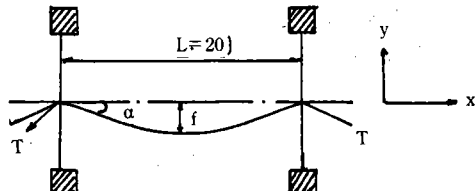


그림. 19. 汚濁防止幕 平面圖

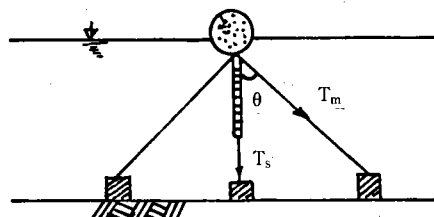


그림. 20. 汚濁防止幕 橫斷面圖

### 다) Sub Anchor Wire Rope

$$T_s = \frac{(F_t + F_h)}{2f'} \cdot L' \cdot \sqrt{(a'^2) + 4f'^2} \cdot a' \cdot F_s$$

여기서  $F_t$  : 潮流壓( $\text{kg}/\text{m}^2$ )

$F_h$  : 波壓( $\text{kg}/\text{m}^2$ )

$L'$  : Sub Anchor의 間隔(5.0m)

$2a'$  : 防止幕 幅(2.5m)

$f'$  : 치점量( $0.1 \times 2a' = 0.25\text{m}$ )

$F_s$  : 安全率(3~5)

$$T_s = \frac{51.54 + 26.42}{2 \times 0.25} \times 5.0$$

$$\times \sqrt{(1.25)^2 + 4 \times (0.25)^2} \times 1.25 \times 3$$

$$= 3,927 \text{ kg}$$

### - Sub Anchor Wire Rope의 張力 -

區分	單位	區間		
		1	2	3
潮 流 壓 ( $F_t$ )	$\text{kg}/\text{m}^2$	51.54	51.54	51.54
波 壓 ( $F_h$ )	$\text{kg}/\text{m}^2$	26.42	26.42	26.42
張 力 ( $T_s$ )	kg	1,309	1,574	2,099
安 全 率	$F_s$	3	3	3
所 要 張 力	kg	3,927	4,723	6,297

## 2) Anchor Block 重量

## 가) Main Anchor Block

$$\text{그림. 19에서 } B_m = \frac{2T \cdot \sin \alpha}{K \cdot \sin \theta}$$

여기서  $B_m$  : Block 所要重量(kg)

$T$  : 總張力(kg)

$K$  : 地盤의 摩擦係數 2.0(2.0~2.5,  
参考文獻 參照)

$\theta$  : Main Anchor Wire Rope의 연직  
角度( $60^\circ$ )

$\alpha$  :  $22^\circ$

$$B_m = \frac{2 \times 5,502 \times \sin 22^\circ}{2 \times \sin 60^\circ} = 2,380(\text{kg})$$

水中에 있으므로 海水의 單位를 考慮하면

$$2,380 \div (2,300 - 1,030) = 1.870\text{m}^3$$

$H=0.8$ 로 하면

$$1.870 \div 0.8 = 2.3375\text{m}^2$$

$$B \times L \times H = 1.6 \times 1.6 \times 0.8 = 2.048\text{m}^3 > 1.870\text{m}^3 \text{ O.K}$$

## — Main Anchor Block의 規格 —

區分 幅	區間		
	1	2	3
總張力(TA) kg	5.502	6,865	9,493
所要重力( $B_m$ ) kg	2,380	2,969	4,106
Block 規格 m	$1.6 \times 1.6 \times 0.8$	$1.7 \times 1.7 \times 0.8$	$2.0 \times 2.0 \times 0.8$

## 나) Sub Anchor Block

Sub Anchor Wire Rope 計算에서 Rope의 張力  
( $T_s$ ) 크기 以上의 block이면 된다.

## — Sub Anchor Block의 規格 —

區分 幅	區間		
	1	2	3
Sub Anchor Rope 張力( $T_s$ ) kg	1,309	1,574	2,099
Block 規格 m	$1.0 \times 1.0 \times 0.8$	$1.1 \times 1.0 \times 0.8$	$1.3 \times 1.3 \times 0.8$

## 6. 結論

우리나라에서는 國土利用開發 次元에서의 西南海岸 干拓地開發은 날로 增加되는 趨勢이다. 또한 干拓事業 工事로 因한 各種 補償에 따른 民願도 날로 增加 趨勢에 있으며, 環境污染 防止도 重要한 課題로 되어있다. 따라서 工法의 改善 및 新しい 物理的인 方法을 開發하여 工事推進에 沮害되는 要素에 對備하여야 할 것이다.

本 設計는 完璧한 것이 못되므로 施行過程에서 착오와 經驗을 通해서 보다 向上된 技術 發展이 있기를 바라며, 現場에서 施工時 技術 發展을 為하여 다음과 같은 觀測資料가 要望된다.

1. 氣象資料：風向, 風速, 潮位, 潮流速, 流向 (現在 觀測中)
2. 防止幕 設置後 干潮時 土砂의 擴散範圍 調查(調查豫定)
3. 防止幕 内・外側의 濁度測定(調查豫定)
4. Anchor Block 設置後 地盤의 洗掘狀態 調查(調查中)
5. 沈降된 物質의 粒度分析(調查中)
6. 防止幕 및 Wire Rope의 耐久性 試驗(調查豫定)
7. 施工裝備 能力 및 품질調査(調查中)
8. 其他 施工上의 問題點 調査(調查中)

## 參 考 文 獻

1. 建設部, 港灣設計基準, 1971.
2. 國際土木纖維學會, 3rd International Conference on Geotextile, Vol. 5, 1986.
3. 三菱油化株式會社, MY フュソヌ, 昭和 62年.